



دراسة حرارية التحلل الصوتي (Sonolysis) لمبيد الفسفوري (chlorpyrifos)

محمد فريح مسهر اسماعيل خليل الخطيب براق مشعان عط الله

جامعة الانبار-كلية العلوم

الخلاصة:

تم خلال هذا البحث استخدام التجزئة الصوتية (sonolysis) لمبيد الكلوربإيرفوس وبسعات مختلفة (amplitude) 25% ، 50% ، 50% (100%) من ساعات مولد الموجات فوق الصوتية، ولفترات (30,20,10,5) دقيقة وبنركيز (40,30,20) ppm. تمت متابعة التحلل من خلال قياس التغير في التوصيلية الكهربائية (EC) والاس الهيدروجيني (pH). وقد بينت النتائج ان التجزئة الصوتية تزداد مع زيادة كل من زمن التعريض والسعنة للموجات فوق الصوتية اذ ان قيمة التوصيلية الكهربائية (EC) تصل الى اعلى قيمة لها عند المدة الزمنية ٣٠ دقيقة ولجميع السعات، الا انها تصل اعلى قيمة لها عند السعنة ١٠٠ % ولجميع التراكيز المستخدمة، وذلك لتحرر عدد من الايونات في مزيج التفاعل الصوتي، وان قيمة الاس الهيدروجيني تنخفض الى ادنى قيمة لها عند نفس الظروف وذلك لزيادة عدد ذرات الهيدروجين. وأوضحت الدراسات الحرارية ان سرعة التحلل الصوتي لمبيد الكلوربإيرفوس هي من المرتبة الاولى ولجميع التراكيز والسعات المستخدمة.

معلومات البحث:

تاريخ التسليم: ٢٠١٣/٠٠/٠٠

تاريخ القبول: ٢٠١٤/٥/٦

تاريخ النشر: ٢٠١٧ / ٤ / ٣٠

DOI:10.37652/juaps.2015.124387

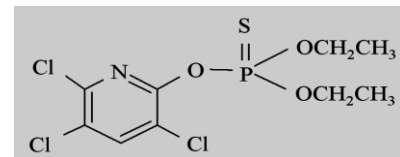
الكلمات المفتاحية:

حرارية التحلل الصوتي (Sonolysis)
المبيد الفسفوري (chlorpyrifos).

المقدمة

الكلوربإيرفوس هو احد المبيدات الحشرية وينتمي الى مجموعة المركبات الفسفورية العضوية والذي يرتبط فسفوره بالكبريت عن طريق الاصرة المزدوجة (P=S)، يمتاز مبيد الكلوربإيرفوس بالتركيب

الكيميائي التالي:



(O,O-diethyl O-(3,5,6-trichloropyridin-2-yl))

يستخدم الكلوربإيرفوس بصورة واسعة في المدن والاريفاف وذلك بسبب سميته العالية تجاه الحشرات ومقاومته البيئية الواطئة⁽³⁾، ان معدل الاستهلاك السنوي لمبيد الكلوربإيرفوس بين عامي ٢٠٠٢ و ٢٠٠٦ كان ٢٥ مليون كيلوغرام من المادة الفعالة وان 98.5% منه استخدم للاغراض الزراعية⁽²⁾.

تعتبر الموجات فوق الصوتية تقنية متقدمة في اكسدة العديد من الملوثات العضوية⁽²⁾ اذ انها تكون تجاويف مائية (acoustic cavities) تعمل على تكون مناطق ذات ضغوط ودرجات حرارية

* Corresponding author at: University of Anbar - College of Science
E-mail address:

عالية، والتي تعمل وبالتالي على تحلل جزيئات الماء، ونتيجة لذلك تكون جذور $\bullet\text{OH}$ ، $\bullet\text{OOH}$ ، $\bullet\text{H}$ الحرية والتي تعمل على تحطيم الملوثات في محلول المائي⁽⁴⁾. وتعد المبيدات من ابرز الملوثات التي يمكن ازالتها بهذه التقنية، حيث تمت ازالة مبيد DDT، اذ وجد ان تركيزه الابتدائي يقل من 8ppm الى 1.2ppm بعد ٤٥ دقيقة من التعريض له عند التردد 1.6 MHz⁽⁴⁾. كما بينت الدراسة التي قام بها⁽⁵⁾ الى ازالة مبيد الميثيل باراثيون (methyl parathion) (methyl parathion) ويستخدم التردد 40KHz. كما بين⁽⁶⁾ ان التردد المثالي لازالة مبيد البراثيون 600KHz parathion الى تحطم مبيد الدايكلورووفوس dichlorvos⁽⁹⁾ ومبيد الدايزينون diazinon⁽¹⁰⁾ ومبيد dimethoate⁽¹¹⁾ عند التعرض للموجات فوق الصوتية وبطريق مختلف.

المواد وطرق العمل

استخدمت المادة الفعالة لمبيد الكلوربإيرفوس (chlorpyrifos) والمجهز من قبل شركة طارق العامة لتصنيع المبيدات. و تم استخدام مولد الموجات فوق الصوتية والمجهز من قبل شركة Hielscher الالمانية. تم استخدام مصدر للموجات فوق الصوتية بسعات 100, 50, 25 (100)% من سعة مولد الموجات فوق الصوتية ولفترات زمنية مختلفة (20, 30, 40) ppm (30, 20, 10) دقيقة وبنركيز (5, 10, 20) ppm

جدول(3) قيم التوصيلية الكهربائية (μ s. Cm⁻¹) لميد 40 من ميد الكلوريايرفوس المعرض للموجات فوق صوتية لفترات زمنية مختلفة

Amplitude%	25	50	100
Tim(min)			
0	3.1	3.1	3.1
5	3.9	3.1	6.1
10	4.1	5.4	7.2
20	6.8	12	12.6
30	6.9	14.3	15

نلاحظ من الجداول اعلاه أن قيمة التوصيلية الكهربائية لميد الكلوريايرفوس تزداد بشكل ملحوظ بعد فترة زمنية من التشغيع وهو امر محتمل لأن التوصيلية الكهربائية تعبر عن مقدار تركيز الايونات المتحركة في مزيج التفاعل الصوتي والتي هي بشكل اساسي ايونات الفسفور (phosphorus) و النترات (nitrate) والكبريتات (sulphate) والكلوريدي (chloride) لذلك يمكن اعتقاد الزيادة في التوصيلية الكهربائية مؤشرا على الزيادة في التجزئة الصوتية لميد الكلوريايرفوس⁽¹²⁾ فعند استخدام 20 ppm كلوريايرفوس وكما موضح في الجدول (1) بلغت قيمة التوصيلية الكهربائية بعد خمس دقائق وسعة موجية μ s. Cm⁻¹ 25% وهي تمثل اقل توصيلية تم الحصول عليها، في حين كانت قيمة التوصيلية الكهربائية عند الزمن 30 دقيقة وسعة موجية μ s. Cm⁻¹ 100% (18.2) والتي تمثل اعلى قيمة للتوصيلية الكهربائية عند هذا التركيز.

كذلك عند استخدام 30 ppm كلوريايرفوس وكما موضح في الجدول (2) ان قيمة التوصيلية الكهربائية بعد خمس دقائق وسعة موجية μ s. Cm⁻¹ 25% (6.6) وهي تمثل اقل توصيلية تم الحصول عليها، في حين كانت قيمة التوصيلية الكهربائية عند الزمن 30 دقيقة وسعة موجية μ s. Cm⁻¹ 100% (53.3) والتي تمثل اعلى قيمة للتوصيلية الكهربائية عند هذا التركيز.

كما تم الحصول على الشيء نفسه عند استخدام 40 ppm كلوريايرفوس والموضحة في الجدول (3) حيث كانت قيمة التوصيلية الكهربائية بعد خمس دقائق وسعة موجية μ s. Cm⁻¹ 25% (3.9) وهي تمثل اقل توصيلية تم الحصول عليها، في حين كانت قيمة التوصيلية الكهربائية عند الزمن 30 دقيقة وسعة موجية 100%.

لمعرفة التغير الحاصل للميد لغرض معرفة تأثير الموجات فوق الصوتية على ميد الكلوريايرفوس ، تم رسم العلاقة بين مدة التعريض للموجات فوق صوتية وبين $\ln(EC/EC^0)$ (بيانا) التوصيلية الكهربائية الابتدائية، EC التوصيلية الكهربائية بعد المعاملة ، لايجاد ثابت السرعة من المرتبة الاولى، حيث ان (EC^0) التوصيلية الكهربائية الابتدائية للميد ، و (EC) التوصيلية الكهربائية للميد بعد التعريض للموجات فوق صوتية.

النتائج والمناقشة:

١. تأثير الموجات فوق الصوتية في التوصيلية الكهربائية (EC) على الميد

ان للتجزئة بالموجات فوق الصوتية (sonolysis) تأثير واضح في قيمة التوصيلية الكهربائية ولجميع السعات التي تم استخدامها خلال التفاعل الصوتي (sonoreaction) ، وتظهر الجداول (١)، (٢)، (٣) مدى التغير الحاصل في قيمة التوصيلية الكهربائية لميد الكلوريايرفوس.

جدول(1) قيم التوصيلية الكهربائية (μ s. Cm⁻¹) لميد 20 من ميد الكلوريايرفوس المعرض للموجات فوق صوتية لفترات زمنية مختلفة

Amplitude%	25	50	100
Tim(min)			
0	1.2	1.2	1.2
5	2.1	2.3	3.0
10	3.3	5.0	6.4
20	5.4	8.2	11.9
30	7.8	11.8	18.2

جدول (2) قيم التوصيلية الكهربائية (μ s. Cm⁻¹) لميد 30 من ميد الكلوريايرفوس المعرض للموجات فوق صوتية لفترات زمنية مختلفة

Amplitude%	25	50	100
Tim(min)			
0	6.6	6.6	6.6
5	7.1	8.5	10.8
10	7.6	10.8	45.9
20	12.7	15	46.2
30	15.4	18.3	53.3

جدول (6) قيم الأس الهيدروجيني (pH) لـ ppm 40 من مبید الكلوريايرفوس المعرض للموجات فوق صوتية ولفترات زمنية مختلفة

Amplitude%	25	50	100
Tim(min)			
0	6.74	6.74	6.74
5	6.01	5.94	5.44
10	5.98	5.94	5.33
20	5.77	5.31	5.02
30	5.7	5.01	5.23

يتبيّن من الجداول أعلاه انخفاض واضح في قيمة الأس الهيدروجيني مع الزمن، ويعزى سبب ذلك إلى تحرر بعض العوامض خلال عمليات التحلل إذ أن أيونات الكبريت المتحررة تكون حامض (H_2SO_4)⁽¹⁴⁾، كما أن مجامي⁻¹ Cl^- ومجامي⁻¹ OH^- ر بما تحولت إلى حامض HCl والماء⁽¹⁵⁾ كما أن حامض النيترو والنايتروزو تتكون بعد تحطم آصرة $\text{N}=\text{N}-$. كما تتكون عدة حوامض كاربوكسيلية نتيجة لتحطم الحلقة الاروماتية في مبید الكلوريايرفوس⁽¹⁴⁾. وهذا يتفق مع النتائج التي توصل إليها الباحث Sarunya وجماعته عند دراسة التحطّم التأكسدي لمبید الكلوريايرفوس تحت تأثير الموجات فوق صوتية بان قيمة الاس الهيدروجيني نقل مع زيادة زمن التشعيّ بالمواضيع فوق الصوتية⁽¹²⁾ كذلك يمكن ملاحظة الفرق الواضح بين سعة أخرى ولنفس الفترة الزمنية إذ نلاحظ انخفاض في قيمة الأس الهيدروجيني للسعة العالية (100%) اكبر مما هو عليه في الساعات الاقل (25-50%) وهذا أمر محتمل إذ ان طاقة الموجة بصورة عامة تتناسب طرديا مع مربع السعة⁽¹⁶⁾. من خلال هذه النتائج يمكن اعتماد الانخفاض في قيمة الأس الهيدروجيني لمبید الكلوريايرفوس مؤسرا على الزيادة في التجزئة الصوتية (sonolysis) له، فعند استخدام 20 ppm كلوريايرفوس الجدول (4) بلغت قيمة الأس الهيدروجيني (4.51) بعد ٣٠ دقيقة وسعة موجية (%) في حين كانت قيمة الأس الهيدروجيني (4.33) عند الزمن ذاته وسعة موجية %٥٠، اما عند السعة العالية 100% والتي تمثل أعلى سعة مستخدمة كانت قيمة الأس الهيدروجيني (4.39) عند هذا التركيز، بينما كانت قيمة الأس الهيدروجيني (5.04) لهذا التركيز قبل التشعيّ (الزمن = ٠). كذلك الحال عند استخدام 30 ppm كلوريايرفوس الجدول (5) فإن قيمة الأس الهيدروجيني بلغت (4.27) بعد ٣٠ دقيقة وسعة موجية (%) في حين كانت قيمة الأس الهيدروجيني (4.25) عند هذا الزمن وبالسعة الموجية %٥٠، اما عند

(15.0) $\mu \text{ s. Cm}^{-1}$ والتي تمثل أعلى قيمة للتوصيلية الكهربائية عند هذا التركيز.

يتضح من الجداول اعلاه ان التوصيلية الكهربائية تزداد زيادة ملحوظة مع زيادة التشعيّ بالمواضيع فوق الصوتية وهذا يتفق مع ما توصل إليه الباحث Sarunya⁽¹²⁾ من ان زمن التشعيّ يتتناسب مع كل من ايونات النترات (nitrate) والكبريتات (sulfate) والكلوريد (chloride). كذلك فإن الزيادة في السعة الموجية للموجات فوق الصوتية لها تأثير واضح في زيادة التوصيلية الكهربائية وهذا أمر محتمل إذ ان طاقة الموجة بصورة عامة تتناسب طرديا مع مربع السعة⁽¹³⁾ فعندما تزداد سعة الموجة إلى المثلين فإن طاقة الموجة تزداد أربعة أضعاف، اما عندما تزداد سعة الموجة إلى أربعة أمثال فإن طاقة الموجة تزداد ست عشر ضعف وبهذا يمكن تفسير سبب زيادة التحلل عند زيادة سعة الموجة.

2. تأثير الموجات فوق الصوتية على الاس الهيدروجيني (pH) لمحاليل المبيّد

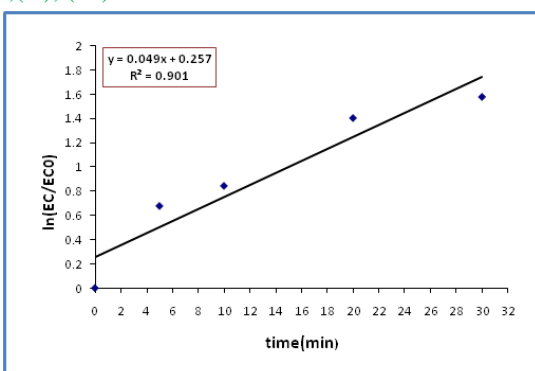
أظهرت نتائج الدراسة تأثير الموجات فوق الصوتية على الاس الهيدروجيني لمبید الكلوريايرفوس وكما موضح في الجداول (4)، (5)، (6) الذي يبيّن مدى التغيير الحاصل في قيمة الدالة الحامضية لمبید الكلوريايرفوس

جدول (4) قيم الأس الهيدروجيني (pH) لـ ppm 20 من مبید الكلوريايرفوس للمواضيع فوق الصوتية ولفترات زمنية مختلفة

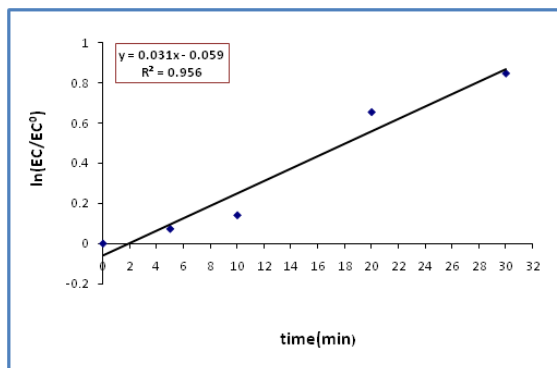
Amplitude%	25	50	100
Tim(min)			
0	5.04	5.04	5.04
5	5.07	5.04	4.91
10	5.13	4.84	4.78
20	4.75	4.64	4.70
30	4.51	4.33	3.49

جدول (5) قيم الأس الهيدروجيني (pH) لـ ppm 30 من مبید الكلوريايرفوس للمواضيع فوق الصوتية ولفترات زمنية مختلفة

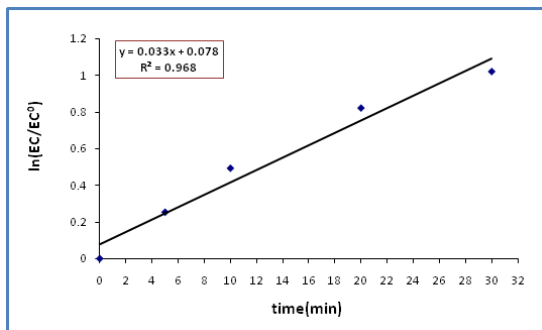
Amplitude%	25	50	100
Tim(min)			
0	5.18	5.18	5.18
5	5.3	4.56	4.08
10	5.14	3.25	3.40
20	4.26	4.31	3.41
30	4.27	4.25	3.45



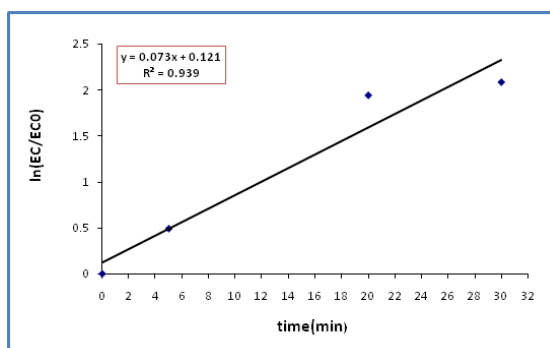
شكل(3) سرعة تحلل مبيد chlorpyrifos(40 ppm) بسعة 100% من سعة الجهاز



شكل (4) سرعة تحلل مبيد chlorpyrifos(30 ppm) بسعة 25% من سعة الجهاز



شكل (5) سرعة تحلل مبيد chlorpyrifos(30 ppm) بسعة 50% من سعة الجهاز

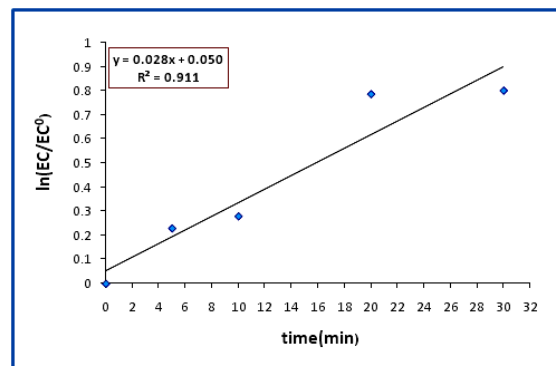


شكل (6) سرعة تحلل مبيد chlorpyrifos(30 ppm) بسعة 100% من سعة الجهاز

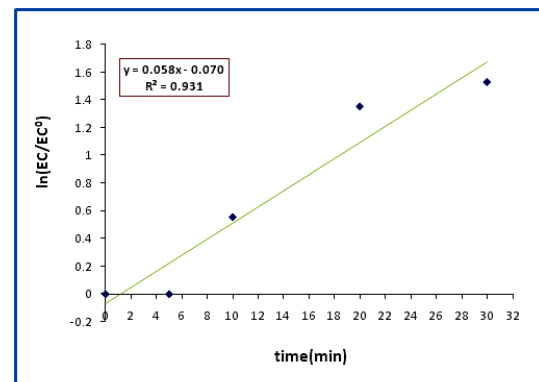
السعه الموجيه 100% كانت قيمة الأس الهيدروجيني (3.45) بينما كانت قيمة الأس الهيدروجيني (5.04) لهذا التركيز قبل التشيع (الزمن=٠). عند استخدام 40 ppm كلوربايرفوس الجدول (٦) فان قيمة الأس الهيدروجيني بعد ٣٠ دقيقة وسعة موجية (%) بلغت ٥٠%. أما قيمة الأس الهيدروجيني عند نفس الزمن وبالسعه الموجيه (5.7). تم تطبيق معادلة الدرجة الأولى (first-order equation) على مبيد الكلوربايرفوس Chlorpyrifos وأظهرت ملامعتها في حساب سرعة التحلل لهذا المبيد في ساعات (amplitude) وتركيز مختلف من خلال رسم العلاقة بين $\ln(EC/EC^0)$ مقابل الزمن، الأشكال (١ إلى ٩).

سرعة التحلل مبيد الكلوربايرفوس (الفسفوري) بتأثير الموجات فوق الصوتية.

تم تطبيق معادلة الدرجة الأولى (first-order equation) على مبيد الكلوربايرفوس Chlorpyrifos وأظهرت ملامعتها في حساب سرعة التحلل لهذا المبيد في ساعات (amplitude) وتركيز مختلف من خلال رسم العلاقة بين $\ln(EC/EC^0)$ مقابل الزمن، الأشكال (١ إلى ٩).



شكل (1) سرعة تحلل مبيد chlorpyrifos(40 ppm) بسعة 25% من سعة الجهاز



شكل (2) سرعة تحلل مبيد chlorpyrifos(40 ppm) بسعة 50% من سعة الجهاز

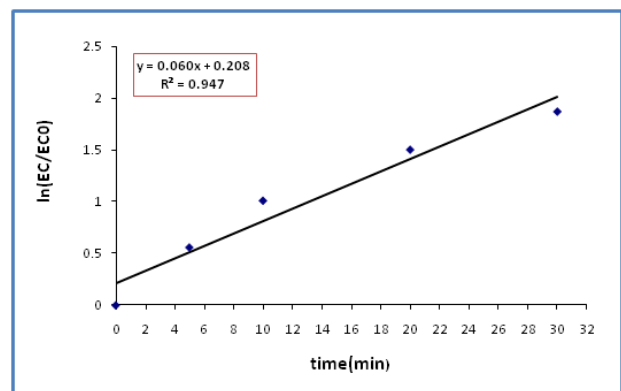
جدول (18-3) قيم K_1 و R^2 لمبيد الكلوربايرفوس بسعات وتركيزات مختلفة

R^2	K_1 (min^{-1})	Amplitude%	Concentration	t
0.911	0.028	25	40	1
0.931	0.058	50	40	2
0.901	0.049	100	40	3
0.956	0.031	25	30	4
0.968	0.033	50	30	5
0.939	0.073	100	30	6
0.947	0.060	25	20	7
0.909	0.073	50	20	8
0.907	0.086	100	20	9

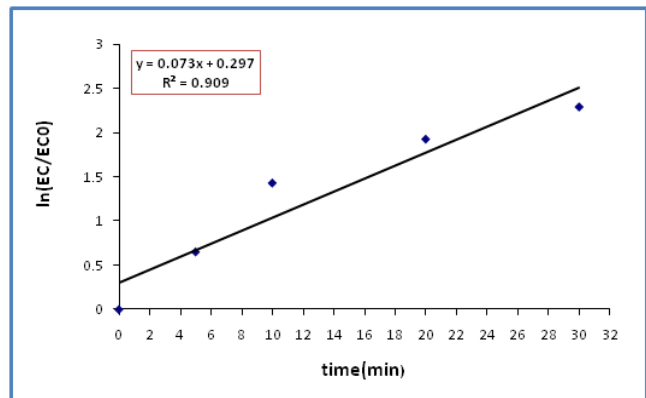
من خلال حساب ثابت السرعة (K_1) rate constant من ميل الخطوط والتي تبين تأثير تغير السعة في سرعة تحلل مبيد الكلوربايرفوس نلاحظ ازدياد سرعة التحلل (rate of degradation) فنردد قيمة ثابت سرعة تحلل مع زيادة السعة الموجية (amplitude) المبيد مع زيادة السعة الموجية والتي تبين أنها أحد أهم العوامل التي تعتمد عليها سرعة تحلل المبيد ويتناوب طردياً معها، إذ أن قيمة ثابت السرعة لمبيد الكلوربايرفوس بتركيز 25% عند 40 ppm بلغت 0.028 min^{-1} بينما أصبحت قيمة ثابت التحلل (0.049) عند السعة الموجية 100% ، كذلك الحال عند التركيز 30 min^{-1} إذ كانت قيمة ثابت التحلل 0.031 min^{-1} عند سعة موجية 25% بعد ذلك تزداد زيادة طفيفة إلى 0.033 min^{-1} عند السعة الموجية 50% ثم زادت زيادة ملحوظة عند سعة موجية 100% إذ بلغت قيمة ثابت التحلل 0.073 min^{-1} ثم بلغت 0.07 min^{-1} وهي أعلى نسبة تحلل عند هذا التركيز، ونلاحظ كذلك زيادة سرعة التحلل عند 20 ppm إذ كانت قيمة ثابت التحلل 0.060 min^{-1} عند السعة الموجية 25% ثم زادت زيادة ملحوظة عند سعة الموجية 50% إذ بلغت قيمة ثابت التحلل 0.086 min^{-1} ثم استمر بالزيادة إلى أن بلغت قيمة ثابت التحلل 0.086 min^{-1} عند السعة الموجية 100% والتي تمثل أعلى نسبة تحلل لهذا التركيز ولجميع التراكيز المستخدمة. وبذلك نستنتج من خلال هذه النتائج التي تم الحصول عليها في هذه الدراسة أن زيادة السعة الموجية تؤدي إلى زيادة ثابت سرعة التحلل وبالتالي زيادة معدل السرعة، وهو استنتاج محتمل إذ أن شدة الموجة وطاقتها تتناسب طردياً مع مربع سعة الموجة^(17,16) وبذلك تتوافق زيادة في نسبة التحلل لمبيد الكلوربايرفوس. إن هذه النتائج تتفق وما توصل إليه الباحث Sarunya وجماعته من أن حرارية تحلل مبيد الكلوربايرفوس تحت تأثير الموجات فوق الصوتية هي من الدرجة الأولى بثابت سرعة تحلل له 0.0237 min^{-1} .⁽¹²⁾

المصادر

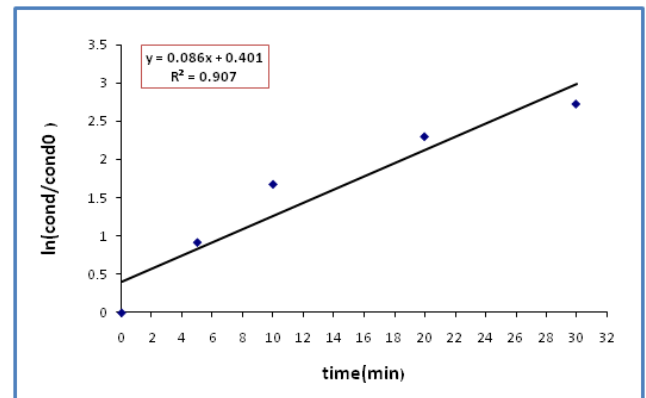
1.Rajeev Mahajan, Matthew R. Bonner, Jane A. Hoppin. Phorate Exposure and Incidence of Cancer



شكل (7) سرعة تحلل مبيد (chlorpyrifos(20 ppm) بسعة 25% من سعة الجهاز



شكل (8) سرعة تحلل مبيد (chlorpyrifos(20 ppm) بسعة 50% من سعة الجهاز



شكل (9) سرعة تحلل مبيد (chlorpyrifos(20 ppm) بسعة 100% من سعة الجهاز

وتم حساب ثابت السرعة K_1 من ميل الخطوط إضافة إلى معرفة معامل ارتباط هذه القيم مع بعضه (R^2) والتي دونت في الجدول (18-3):

8. Thangavadivel K, Megharaj M, Smart R, et al. Application of high frequency ultrasound in the destruction of DDT in contaminated sand and water. Journal of Hazardous Materials, 168: 1380–1386. (2009).
9. J.D. Schramm, I. Hua, Water Res., 35: 665–674. (2001).
10. M.A. Matouq, Z.A. Al-Anber, T. Tagawa, S. Aljbour, M. Al-Shannag, Ultrason.Sonochem. 15: 869–874. (2008).
11. Y.N. Liu, D. Jin, X.P. Lu, P.F. Han, Ultrason. Sonochem. 15: 755–760. (2008).
12. Sarunya Penghol, Jamnong Uthaibuttra, Ornanong Arquero, Nakao Nomura5 & Kanda Whangchai. Oxidative Degradation and Detoxification of Chlorpyrifos by Ultrasonic and Ozone Treatments. Journal of Agricultural Science, 4:164. (2012).
13. Ralph W. Knapp. Energy distribution in wavelets and implications on resolving power. Geophysics, 58: 39-46. (1993).
14. Wenrong, H., & Haiyan, P. Decomposed characteristic of azo dyes by ozonization with ultrasonic enhancement. E-Journal of Chinese Science Bulletin, 47: 986-989. (2002).
15. Devi, L. G., Murthy, B. N., & Kurmar, S. G. Photocatalytic activity of V5+, Mo6+ and Th4+ doped polycrystalline TiO2 for the degradation of chlorpyrifos under UV/solar light. Journal of Molecular Catalysis A: Chemical, 308:174-181. (2009).
16. Ticha Sethapakdi. Sound Intensity of a Drum. Journal of Physics, 6:1-3. (2012).
17. Raichel, D. R.The Science and Application of Acoustics. (2 ed.). Springer Science Business Media. (2006).
- in the Agricultural Health Study.Environmental Health Perspectives, 114: 1205-1209,(2006).
- 2.Miligi lucia, costantini adele seniori, veraldi angela, benvenuti alessandra. Cancer and pesticides: an overview and some results of the italian multicenter case-control study on hematolymphopoietic malignancies.annals of the new york academy of sciences, 1076: 366-377. (2006).
- 3.Susan Searles Nielsen, Beth A. Mueller, Anneclaire J. De Roos, Hannah-Malia A. Viernes. Risk of Brain Tumors in Children and Susceptibility to Organophosphorus Insecticides: The Potential Role of Paraoxonase (PON1). Environmental Health Perspectives, 113: 909-913, (2005).
- 4.Lopez-Granero, C., Cardona, D., Gimenez, E., Lozano, R. Chronic dietary exposure to chlorpyrifos causes behavioral impairments, low activity of brain membrane-bound acetylcholinesterase, and increased brain acetylcholinesterase-R mRNA. Toxicology, 308: 41-49, (2013).
5. A Paliwal, RK Gurjar, HN Sharma. Analysis of liver enzymes in albino rat under stress of k-cyhalothrin and nuvan toxicity. Biology and Medicine,1: 70-73.(2009).
6. Juan-Juan Yao, Nai-Yun Gao, Cong Li, Lei Li, Bin Xu. Mechanism and kinetics of parathion degradation under ultrasonic irradiation. Journal of Hazardous Materials. 175: 138–145. (2010).
7. Wang, J., Pan, Z., Zhang, Z., Zhang, X., Wen, F., Ma, T., ... Kang, P. (2006). Sonocatalytic degradation of methyl parathion in the presence of nanometer and ordinary anatase titanium dioxide catalysts and comparison of their sonocatalytic abilities. Ultrasonics Sonochemistry, 13, 493-500.

Kinetics Of sonolysis for phosphorus pesticide chlorpyrifos.

Mohammad F. Mesher

Ismail Kh. alkateb

Buraq M. Attallah

E.mail :

Abstract

During this research the degradation has been studied for the pesticide Chlorpyrifos (phosphorus pesticide) by ultrasonic technique (sonolysis) through the use of different amplitudes (100,50,25%) from amplitude generator ultrasound, for the periods of time (30,20,10,5) minute with the concentrations (40,30,20) ppm for pesticide Chlorpyrifos. It has been dealt with the degradation by measuring the changes in the electrical conductivity (EC) and (pH). The results showed that sonolysis of Chlorpyrifos increases with each the time and the amplitude of the ultrasound. The value of the electrical conductivity (EC) up to the highest value at the period of time 30 minutes and all amplitude, but it reaches its highest value at amplitude 100% with all the concentrations used, because of the liberation of different ions in the reaction mixture. The pH value decreases to the lowest value at the same condition, because the number of hydrogen atoms increases. The kinetic studies explained that the rate of decomposition by the ultrasound for pesticide Chlorpyrifos from the first order and all concentrations and amplitudes used and so draw the relationship between the ($\ln(Ec/Ec^0)$) and duration of exposure ultrasonic.